

© 1991

**ТЕПЛОВАЯ НЕОМИЧНОСТЬ  
ГАЛЬВАНОМАГНИТНЫХ КОЭФФИЦИЕНТОВ  
МОНОКРИСТАЛЛОВ ВОЛЬФРАМА  
В СИЛЬНЫХ МАГНИТНЫХ ПОЛЯХ**

*A. H. Черепанов, B. E. Старцев, B. B. Марченков, K. Э. Егиазарян*

Исследованы вольт-амперные характеристики (ВАХ) гальваномагнитных свойств монокристаллического вольфрама высокой степени чистоты с  $\rho_{293.2 \text{ K}} / \rho_{4.2 \text{ K}} \approx 80\,000$  в магнитных полях до 70 кЭ. Установлено, что в жидким гелием при  $T=4.2 \text{ K}$  неомичность магнитосопротивления, эдс Холла и поперечного четного напряжения начинается при диссипации с поверхности образца теплового потока мощностью 0.48 Вт/см<sup>2</sup>. Порог появления неомичности коррелирует с температурой образца. Нелинейностей ВАХ, имеющих нетепловую природу в эксперименте, не обнаружено. Показано, что нетепловые нелинейности ВАХ в условиях статического скин-эффекта могут иметь место в сильных магнитных полях, но для их обнаружения необходима иная методика эксперимента.

Неомичность стационарных ВАХ в чистых металлах до настоящего времени исследовалась в отсутствие внешнего магнитного поля  $H$  или в магнитных полях небольшой напряженности, сравнимой с напряженностью собственного магнитного поля электрического тока, протекающего через образец. Например, в [1, 2] нелинейность ВАХ и наличие на них участка с отрицательной дифференциальной проводимостью обусловлены тепловым действием диссирируемой в образце с током мощности на величину электросопротивления. В [3] исследованы нелинейные эффекты ВАХ, вызванные действием собственного магнитного поля электрического тока в металлах с большой длиной свободного пробега, в том числе, и в слабых внешних магнитных полях ( $H < 300 \text{ Э}$ ). В слабых электрических полях, когда отсутствуют эффекты генерации фононов, неомичность ВАХ эффекта магнитосопротивления в сильных магнитных полях исследовалась в полуметаллах [4, 5], и причиной нелинейных свойств явились тепловые эффекты при разогреве образца электрическим током. Недавно появилось сообщение о том, что подобные исследования выполнены на олове [6].

В высокочистых кристаллах компенсированных металлов с равными концентрациями электронных и дырочных носителей тока ( $n_e = n_h$ ) в сильных магнитных полях при низких температурах и слабых электрических полях возможны, в частности, две причины неомичности. С одной стороны, видимо, тепловая неомичность магнитосопротивления должна проявляться аналогично тому, как это происходит в полуметаллах висмуте, сурьме и мышьяке [4, 5]. С другой стороны, в соответствии с [7] в компенсированных металлах можно ожидать существования нелинейностей ВАХ в сильных магнитных полях ( $\omega_c \tau \gg 1$ ), когда реализуется статический скин-эффект [8]. В условиях этого эффекта большая плотность электрического тока у поверхности кристалла может приводить к токовой зависимости магнитосопротивления в результате действия собственного магнитного поля тока. Во всяком случае исследование нелинейных ВАХ в эффекте магнитосопротивления компенсированных металлов в сильных магнитных полях, а также в таких гальваномагнитных свойствах, как эффект

Холла и поперечное четное напряжение, до сих пор не проводилось и пред-  
ставляет интерес.

В связи с этим в данной работе предприняты экспериментальные ис-  
следования неомического поведения магнитосопротивления, эдс Холла  
и поперечного четного напряжения в монокристаллическом вольфраме  
 $\rho_{293.2} \text{ к} / \rho_{4.2} \text{ к} \approx 80\,000$  в магнитных полях до 70 кЭ. Цель работы состояла  
в поиске и исследовании нелинейностей ВАХ этих свойств. Ождалось, что  
в реализованных экспериментальных условиях возможны как тепловая  
неомичность ВАХ гальваномагнитных коэффициентов, так и нелинейные  
эффекты типа [7] в условиях статического скин-эффекта в сильных маг-  
нитных полях.

## 1. Методика эксперимента

Исследование стационарных ВАХ гальваномагнитных свойств выполнено на монокристаллах вольфрама с  $\rho_{293.2} \text{ к} / \rho_{4.2} \text{ к} \approx 80\,000$ . Исследуемый образец имел размер  $0.95 \times 0.85 \times 18.5$  мм, расстояние между потенциальными контактами для измерения падения напряжения на образце  $U_{xx}$

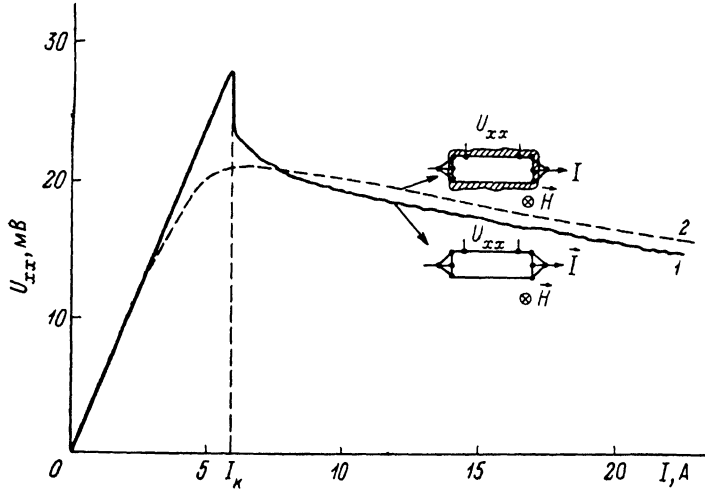


Рис. 1. ВАХ монокристалла вольфрама при  $H=70$  кЭ и  $T=4.2$  К (магнитосопротивление).

1 — чистая поверхность образца, 2 — поверхность образца покрыта пленкой парафина.

(рис. 1) равно 13 мм. Длинная сторона образца направлена вдоль кристаллографической оси  $\langle 100 \rangle$ , а грани образца совпадают с плоскостями (110). Токовые и потенциальные контакты приваривались к образцу электроплазменной сваркой. Сопротивление токовых контактов не превышало  $0.3 \cdot 10^{-6}$  Ом. Электрополированым граням образца (110) соответствует коэффициент зеркальности отражения электронов проводимости от поверхности  $q=0.7$  [9].

Для измерения температуры образца использовалась термопара (Au+0.07 % Fe)—Cu, которая имела прижимной тепловой контакт с образцом.

Измерения ВАХ выполнены как в случае, когда образец имеет хороший тепловой контакт с жидким гелием, так и в случае, когда он изолирован от гелиевой ванны тонкой парафиновой пленкой (рис. 1).

Магнитосопротивление и его ВАХ измерялись по общепринятой четырехконтактной методике, а для измерения ВАХ в эдс Холла применялась шестиконтактная методика, описанная в [10, 11]. Измерения ВАХ эффекта Холла проводились при двух взаимно противоположных направлениях тока  $I$  и магнитного поля  $H$  с тем, чтобы можно было разделить вклады эдс Холла, поперечного четного напряжения и эдс термомагнит-

ного вклада. Все приведенные в статье данные о ВАХ в гальваномагнитных свойствах вольфрама получены при их измерении в режиме заданного тока.

## 2. Результаты эксперимента и обсуждение

На рис. 1 представлены ВАХ эффекта магнитосопротивления вольфрама в координатах  $U_{xx}$ — $I$  при  $T=4.2$  К в магнитном поле  $H=70$  кЭ. Кривая 1 соответствует случаю, когда поверхность образца имеет хороший тепловой контакт с жидким гелием, а кривая 2 получена в условиях, когда поверхность образца изолирована от гелия слоем парафина толщиной примерно 0.5 мм. Видно, что нормальное омическое магнитосопротивление образца наблюдается вплоть до некоторой критической величины электрического тока  $I_k=5.9$  А. При токах  $I \geq I_k$   $U_{xx}$  испытывает резкое (кривая 1) или плавное (кривая 2) уменьшение. Общий вид ВАХ совпадает с видом ВАХ для полуметаллов [4, 5]. Так же как в [4, 5], в области  $I_k$  ВАХ испытывает гистерезисные явления, а уменьшение напря-

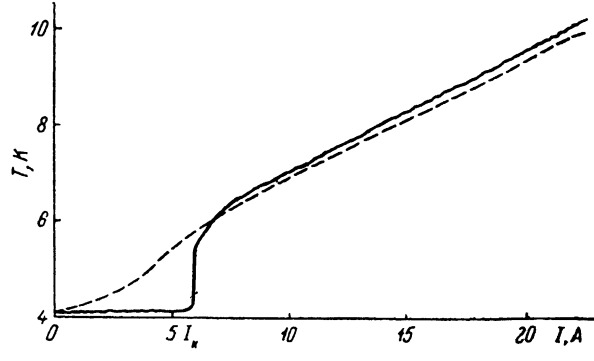


Рис. 2. Зависимость температуры образца от пропускаемого электрического тока при  $H=70$  кЭ и температуре ванны  $T=4.2$  К.

1 — чистая поверхность образца, 2 — поверхность образца покрыта пленкой парафина.

женности магнитного поля  $H$  приводит к увеличению  $I_k$ . При  $I > I_k$  наблюдается затяжной участок с отрицательным дифференциальным сопротивлением  $dU_{xx}/dI < 0$ , что соответствует уменьшению магнитосопротивления в этой области электрических токов.

Вполне естественно такое поведение ВАХ в вольфраме в сильных магнитных полях ( $\omega_c\tau \gg 1$ ), в которых наблюдается большая величина магнитосопротивления  $\Delta\rho_H/\rho_{4.2}$  К ( $H=0$ )  $\approx 6.5 \cdot 10^5$ , связать с тепловым действием протекающего через образец электрического тока. Оценка мощности, рассеиваемой на образце при  $I=I_k$ , дает  $W=0.48$  Вт/см<sup>2</sup>. В [12] показано, что в жидким гелии при  $T=4.2$  К рассеяние с единицы площади поверхности теплового потока мощностью  $W \approx 0.5$  Вт/см<sup>2</sup> приводит к образованию поверхностного слоя газообразного гелия, который значительно ухудшает условия теплообмена между образцом и гелиевой ванной, что способствует разогреву образца. Видимо, это может быть основанием, чтобы причиной резкого скачка на ВАХ при  $I_k=5.9$  А считать реализацию режима пленочного кипения жидкого гелия.

На тепловое происхождение неомического участка на ВАХ магнитосопротивления вольфрама указывает и кривая 2 на рис. 1, так как изменение условий теплообмена через поверхность образца при помощи тонкой парафиновой пленки изменяет вид ВАХ. Он соответствует виду ВАХ при обычном разогреве образца в магнитном поле в результате эффекта Джоуля. В этом случае изменение режима кипения гелия не приводит к скачкообразному поведению ВАХ, поскольку основной вклад в тепловое сопротивление дает не газовая пленка, а парафиновый слой.

Прямое измерение температуры образца проведено при помощи термопары (Au+0.07 % Fe)—Cu, которая имела с образцом прижимной теп-

ловой контакт. На рис. 2 показаны зависимости температуры образца при пропускании через него электрического тока  $I$  в магнитном поле  $H=70$  кЭ. Кривая 1 соответствует хорошему тепловому контакту образца с гелиевой ванной, а кривая 2 получена при измерении на образце, покрытом парафиновой пленкой. Видно, что при реализации режима плечончного кипения температура образца резко возрастает при достижении электрическим током величины  $I_k$ . В случае теплоизолированной поверхности образца его температура возрастает плавно, и при  $I=I_k$  она равна 5.7 К. При токах  $I > I_k$  кривые 1, 2 на рис. 2 в пределах погрешности измерений совпадают.

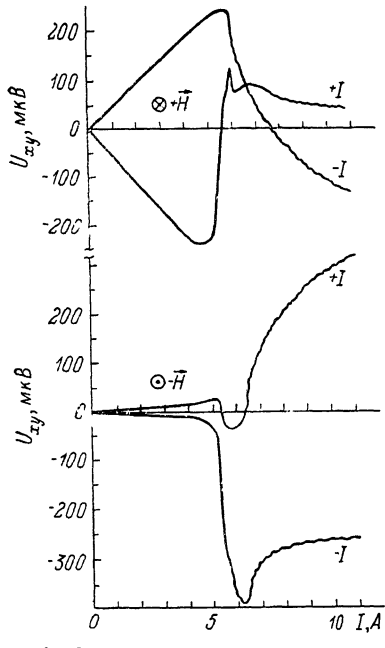


Рис. 3. Зависимость эдс на холловских контактах от электрического тока образца вольфрама в магнитном поле  $H=70$  кЭ при двух противоположных направлениях магнитного поля ( $+H$ ,  $-H$ ) и двух противоположных направлениях тока ( $+I$ ,  $-I$ ).  $T=4.2$  К.

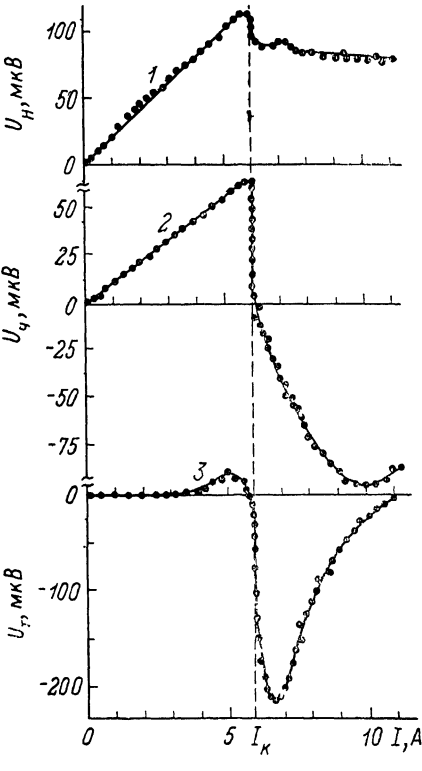


Рис. 4. Зависимость эдс Холла  $U_H$ , поперечного четного напряжения  $U_q$  и эдс термомагнитного вклада  $U_t$  от электрического тока  $I$  в образце вольфрама при  $H=70$  кЭ и  $T=4.2$  К.

Таким образом, становится очевидным, что отклонение от омичности в ВАХ магниторезистивного эффекта вольфрама высокой степени чистоты в сильных магнитных полях при  $T=4.2$  К и появление участка с отрицательным дифференциальным сопротивлением связаны с джоулевым разогревом образца электрическим током и последующим уменьшением его магнитосопротивления.

В связи с тем что наряду с магнитосопротивлением в компенсированных металлах, в том числе и в вольфраме, и другие гальваномагнитные коэффициенты сильно зависят от температуры, можно ожидать, что отклонение от омического поведения будет наблюдаться и в поперечных относительно  $H$  и  $I$  эффектах, таких как эдс Холла и поперечное четное напряжение.

На рис. 3 приведены токовые диаграммы напряжения  $U_{xy}$ , возникающего на холловских контактах. Записи диаграмм  $U_{xy}-I$  позволяют выявить области линейного и нелинейного поведения эдс  $U_{xy}$  в вольфраме.

в сильных магнитных полях. ВАХ  $U_{xy}$ — $I$  записаны при двух взаимно противоположных направлениях магнитного поля  $\mathbf{H}$  и двух противоположных направлениях тока  $I$ . Это позволяет разделить вклады эдс Холла  $U_H$  (нечетной относительно магнитного поля), поперечного четного напряжения  $U_q$  (четного относительно  $\mathbf{H}$  и нечетного относительно  $I$ ) и термомагнитной эдс  $U_t$  (четной относительно коммутации тока  $I$ ). Такое разделение возможно в силу того, что  $U_H$ ,  $U_q$  и  $U_t$  в величину  $U_{xy}$  входят аддитивно

$$U_{xy}(H, I) = U_H(H, I) + U_q(H, I) + U_t(H, I). \quad (1)$$

Используя измерения  $U_{xy}$  при двух противоположных направлениях  $\mathbf{H}$  и двух направлениях  $I$ , перечисленные вклады можно вычислить из следующих выражений:

$$\begin{aligned} U_H &= \frac{1}{4} [U_{xy}(+H, +I) - U_{xy}(-H, +I) - \\ &\quad - U_{xy}(+H, -I) + U_{xy}(-H, -I)], \\ U_t &= \frac{1}{2} [U_{xy}(+H, +I) + U_{xy}(+H, -I)], \\ U_q &= U_{xy}(+H, +I) - U_H(+H, +I) - U_t(+H, +I). \end{aligned} \quad (2)$$

После разделения вкладов  $U_H$ ,  $U_q$  и  $U_t$  построены токовые диаграммы в координатах  $U_H$ — $I$ ,  $U_q$ — $I$ ,  $U_t$ — $I$  (рис. 4). В области критического тока  $I_k$ , при котором на ВАХ магнитосопротивления ( $U_{xx}$ — $I$ ) наблюдался резкий скачок, испытывает резкое изменение и эдс  $U_{xy}$  (рис. 3); эдс Холла  $U_H$  при  $I > I_k$  эдс Холла слабо изменяется с током. Такое поведение  $U_H$  понятно, поскольку в соответствии с [18] коэффициент Холла  $U_H$  с ростом температуры в низкотемпературной области быстро уменьшается.

Поперечное четное напряжение  $U_q$  при переходе через критический ток кардинально меняет свое поведение вплоть до смены знака и продолжает убывать с ростом электрического тока. Из рис. 4 также видно, что  $U_t$ , обусловленное термомагнитными эффектами при  $I > I_k$ , испытывает сильные изменения. Возрастание  $U_t$  при  $I > I_k$  указывает на то, что помимо разогрева образца в критической точке на нем появляется еще и градиент температуры. Учитывая выполненные нами ранее измерения эдс Нернста—Эттингсаузена в вольфраме ( $U_{\text{НЭ}}(H=70 \text{ кЭ}, T=4.2 \text{ К}) \simeq \simeq 700 \text{ мкВ/град}$ ), можно оценить величину возникающего градиента температуры, который при  $I = I_k$  примерно равен  $\Delta T \simeq 0.2 \text{ К}$ . Следует обратить внимание, что появление термомагнитного вклада начинается за  $\frac{1}{2} A$  до  $I_k$ , в то время как в ВАХ гальваномагнитных свойств заметных отклонений от линейности еще не наблюдается.

Таким образом, результаты изучения ВАХ монокристаллического вольфрама в сильных магнитных полях при  $T=4.2 \text{ К}$  показывают, что вследствие теплового действия электрического тока при некоторой его критической величине  $I_k$  все гальваномагнитные коэффициенты проявляют отклонение от омического поведения. Кроме того, при  $I > I_k$  в ВАХ появляются термомагнитные вклады, которые свидетельствуют о неоднородности Джоулева разогрева кристалла и появлении на нем градиента температуры.

В связи с этим представляется интересным выяснить, имеются ли принципиальные возможности для наблюдения нелинейного поведения ВАХ при статическом скин-эффекте, предсказанного в [7] в тех экспериментальных условиях, которые реализованы в данной работе, но в отсутствие разогревных нелинейных эффектов.

В высокочистых компенсированных металлах, в которых длина свободного пробега электронов проводимости  $l > d$  ( $d$  — размер образца), в сильных магнитных полях, в которых ларморовский радиус  $r_h \ll d \ll l$ , реализуется статический скин-эффект и соответственно постоянный электрический ток протекает преимущественно у поверхности кристалла в слое толщиной порядка  $r_h$  [8]. В вольфраме, исследованном в данной работе, при  $T=4.2 \text{ К}$  средняя транспортная длина свободного пробега электронов

$l \approx 3$  мм,  $d \approx 1$  мм, в магнитном поле 70 кЭ  $r_s \approx 1.2 \cdot 10^{-3}$  мм, т. е. условие реализации статического скин-эффекта вполне выполняется. В [11] приведены исследования особенностей проявления статического скин-эффекта в вольфраме.

В [7] показано, что в этих условиях большая плотность тока в приповерхностном слое посредством влияния собственного магнитного поля может приводить к сложному перераспределению токовых слоев по кристаллу вплоть до появления слоев с током, направленным против приложенного электрического поля  $E$ , и, как результат, — к появлению неомичности ВАХ. В соответствии с [11], казалось бы, можно ожидать наблюдения эффектов типа [7] и в исследованном нами вольфраме, если он не подавляется тепловыми нелинейностями.

Согласно [7], отклонения от омических ВАХ могут возникнуть, когда некий безразмерный параметр  $\alpha = (6/\pi)\sigma_0 E r_s/cH$  будет удовлетворять условиям: а)  $(r_s/l)^2 < \alpha \leq 1$ , при зеркальном рассеянии электронов на поверхности коэффициент зеркальности  $q=1$ ; б)  $(r_s/l) < \alpha \leq 1$ , при диффузном рассеянии электронов на поверхности,  $q=0$ .

С учетом того, что для данного кристалла вольфрама с гранями (110), имеющими  $q$ , близкий к зеркальному ( $q=0.7$ ),  $\sigma_0 = 1.87 \cdot 10^{10} (\Omega \cdot \text{см})^{-1}$  и  $l \approx 0.3$  см, данные условия для зеркальных граней можно представить в виде  $(r_s = cmV_F/eH)$

$$1.6 \cdot 10^8 / H^2 < 4.3 \cdot 10^{10} E / H^2 \leq 1.$$

Здесь  $H$  — в Э,  $E$  — в В/см. Для магнитного поля 70 кЭ, в котором проводились измерения ВАХ эффекта магнитосопротивления, данное условие будет выполняться, если к образцу приложено электрическое поле  $E$ , удовлетворяющее условию

$$3.7 \cdot 10^{-8} < E \leq 1.2 \cdot 10^{-1} \text{ В/см.}$$

Из рис. 1 видно, что тепловые нелинейности в исследуемом кристалле вольфрама наступают при  $E > 3 \cdot 10^{-2}$  В/см, т. е. исследуемый интервал  $E$  до наступления тепловой неомичности ВАХ вполне благоприятен для наблюдения предсказанных в [7] нелинейных эффектов. Однако в данном эксперименте в пределах точности измерений во всем интервале электрических токов  $I < I_k$  нелинейности типа [7] не наблюдались, линейное поведение ВАХ сохранялось вплоть до  $I_k$ . Нелинейный вклад в ВАХ [7] пропорционален величине  $\alpha$ , которая для нашего случая  $E = 3 \cdot 10^{-2}$  В/см и  $H = 70$  кЭ равна  $\alpha = 0.26$ . Поэтому возможно, что для поисков эффектов типа [7] необходимо использовать модуляционные методы и следить за токовыми диаграммами производных  $dU_{xx}/dI = f(I)$  или  $d^2U_{xx}/dI^2 = f'(I)$ . Необходимо также использовать образцы с разной степенью коэффициента зеркальности для его граней, параллельных  $H$ .

Таким образом, экспериментальные исследования ВАХ гальваномагнитных коэффициентов компенсированных металлов, выполненные на примере монокристалла вольфрама высокой степени чистоты, показывают, что наряду с тепловой неомичностью магнитосопротивления отклонения от омичности наблюдаются и в других гальваномагнитных свойствах — эффекте Холла и поперечном четном напряжении. Для наблюдения нелинейных эффектов, которые могут существовать при статическом скин-эффекте, в вольфраме могут быть реализованы необходимые экспериментальные условия. Однако методически необходимо выполнять измерения не только ВАХ в чистом виде, но и их производных по току.

Авторы искренне благодарят А. Ю. Коробейникова за помощь в проведении измерений.

#### Список литературы

- [1] Кадыров А. М., Цзян Ю. Н., Логгинов И. И. // ФТТ. 1986. Т. 28. № 11. С. 3380—3388.
- [2] Бойко В. В., Подрезов Ю. Ф., Климова Н. П. // Письма в ЖЭТФ. 1982. Т. 35. № 12. С. 524—526.

- [3] Захарченко С. И., Кравченко С. В., Фишер Л. М. // ЖЭТФ. 1986. Т. 91. № 2. С. 660—670.
- [4] Eastman P. C., Datars W. R. // Canad. J. Phys. 1963. V. 41. N 1. P. 161—166.
- [5] Захарченко С. И., Кравченко С. В. // ФТТ. 1986. Т. 28. № 11. С. 3531—3533.
- [6] Моргун В. Н., Бондарь В. А., Чеботаев Н. Н., Бичуц А. Л. // Тр. конф. «Физика низких температур НТ-26». Донецк, 1990. Ч. 3. С. 134—135.
- [7] Леонов Ю. Г., Макаров Н. М., Ямпольский В. А. // ЖЭТФ. 1989. Т. 96. № 5. С. 1764—1772.
- [8] Песчанский В. Г., Азбель М. Я. // ЖЭТФ. 1968. Т. 55. № 5. С. 1980—1996.
- [9] Панченко О. А., Харламов А. А., Птушинский Ю. Г. // ЖЭТФ. 1974. Т. 67. № 2. С. 780—787.
- [10] Кучис В. Е. Методы исследования эффекта Холла. М., 1974.
- [11] Волкенштейн Н. В., Глинский М., Марченков В. В., Старцев В. Е., Черепанов А. Н. // ЖЭТФ. 1989. Т. 95. № 6. С. 2103—2116.
- [12] Малков М. П., Данилов И. Б., Зельдович А. Г., Фрадков А. Б. Справочник по физико-техническим основам криогенники. М., 1973.
- [13] Cherepanov A. N., Marchenkov V. V., Startsev V. E., Volkenshtein N. V. // J. Low Temp. Phys. 1990. V. 80. N 3/4. P. 136—151.

Институт физики металлов  
Уро АН СССР  
Свердловск

Поступило в Редакцию  
30 июля 1990 г.